

# Смешанное деформирование тел с разрезами в связанной постановке (ползучесть – поврежденность)

Е.А. Миронова<sup>а</sup>, Л.В. Степанова<sup>а</sup>

<sup>а</sup> Самарский национальный исследовательский университет имени академика С.П. Королёва, 443086, Московское шоссе, 34, Самара, Россия

## Аннотация

Изучение процессов разрушения и нелинейного деформирования конструкций является актуальной задачей современной механики деформируемого твердого тела и прикладной математики: целесообразно создание многомасштабных (многоскейлинговых) математических моделей, описывающих взаимосвязь микроструктуры материала и ее влияние на макроскопические свойства материала. Взаимосвязь микроскопических и макроскопических параметров можно отразить с помощью введения иерархической цепочки областей, окружающих вершину трещины и имеющих различную сингулярность поля напряжений в ее окрестности в каждой из зон. Путем введения зон с различной особенностью поля напряжений задача сводится к нелинейной задаче на собственные значения. В работе предложен метод численного определения всего спектра собственных значений нелинейной задачи для всех значений параметра смешанности нагружения.

*Ключевые слова:* континуальная механика поврежденности; смешанное нагружение; автомодельная переменная; напряженно-деформированное состояние; поврежденность

## 1. Введение

Математическое описание процессов нелинейного деформирования и разрушения материалов является актуальной проблемой современной механики сплошных сред и активно исследуется в настоящее время как в нашей стране [8-10, 13-14], так и за рубежом [1-7, 11]. Вопросы, связанные с решением нелинейных задач на собственные значения, вызывают большой интерес, например, в работе [12] предложен метод решения двойственных задач, который позволяет получить распределение скоростей вблизи вершины клина. Особый интерес вызывает взаимное влияние процессов накопления повреждений на напряженно-деформированное состояние в окрестности вершины трещины, и наоборот, влияние эволюции напряженно-деформированного состояния на накопление повреждений у вершины трещины в деформируемом теле. Аккуратное описание полей напряжений, деформаций и поврежденности у вершины трещины требует введение иерархической цепочки областей с различной сингулярностью поля напряжений у вершины трещины и процедуры последующего сращивания асимптотик на границе рассматриваемых областей. В этой связи перспективным и эффективным методом решения краевых задач определения напряженно-деформированного состояния у вершины трещины в среде с поврежденностью является метод разложения по собственным функциям, который широко применяется для определения механических полей у вершины трещины в материалах с нелинейными конституциональными уравнениями [8-10, 14]. В рамках метода разложения по собственным функциям решение (компоненты тензора напряжений, скоростей деформаций и поврежденность) разыскивается в виде произведения двух функций, одна из которых зависит от угловой координаты и подлежит определению, а другая представляет собой расстояние от кончика дефекта в некоторой степени. Степень и функция, определяющая зависимость механической величины от угловой координаты, подлежат определению. В работах [8-10] показано, что метод разложения по собственным функциям приводит к нелинейным задачам на собственные значения, решения которых и обуславливает асимптотику поля напряжений у вершины трещины, поскольку собственное значение нелинейной задачи представляет собой степень радиальной переменной в асимптотическом решении. Одно из собственных значений рассматриваемого класса нелинейных задач на собственные значения, хорошо известно и соответствует собственному значению задачи Хатчинсона-Райса-Розенгрена (ХРР) [1, 14]. Возможные другие решения нелинейных задач на собственные значения и представляют интерес и могут привести к новым частным решениям краевых задач определения напряженно-деформированного состояния у вершины трещины в среде с поврежденностью. В настоящей работе предложен метод численного решения нелинейных задач на собственные значения, следующих из проблем определения полей напряжений и сплошности у вершины трещины в условиях смешанного нагружения в полном диапазоне смешанных форм нагружения от чистого нормального отрыва до чистого поперечного сдвига. Показано, что в частном случае асимптотики ХРР предлагаемый метод позволяет найти собственное значение, отвечающее задаче ХРР. Наряду с известным собственным значением определены новые собственные значения, с помощью которых можно описать различную особенность поля напряжений в окрестности вершины трещины при смешанном нагружении элемента конструкции с дефектом.

## 2. Математическая постановка задачи. Основные уравнения

Определение напряженно-деформированного состояния в окрестности вершины трещины приводит к системе уравнений: системе уравнений равновесия и совместности

$$\frac{\partial \sigma_{rr}}{\partial r} + \frac{1}{r} \frac{\partial \sigma_{r\theta}}{\partial \theta} + \frac{\sigma_{rr} - \sigma_{r\theta}}{r} = 0, \quad \frac{1}{r} \frac{\partial \sigma_{\theta\theta}}{\partial \theta} + \frac{\partial \sigma_{r\theta}}{\partial r} + \frac{2\sigma_{r\theta}}{r} = 0,$$

$$2 \frac{\partial}{\partial r} \left( r \frac{\partial \varepsilon_{rr}}{\partial \theta} \right) = \frac{\partial^2 \varepsilon_{rr}}{\partial \theta^2} - r \frac{\partial \varepsilon_{rr}}{\partial r} + r \frac{\partial^2 (r \varepsilon_{\theta\theta})}{\partial r^2}. \quad (1)$$

Компоненты скорости деформации ползучести, позволяющие связать деформации и напряжения, имеют следующий вид:  $\varepsilon_{rr} = B\sigma_e^{n-1}(2\sigma_{rr} - \sigma_{\theta\theta})/2$ ,  $\varepsilon_{\theta\theta} = B\sigma_e^{n-1}(2\sigma_{\theta\theta} - \sigma_{rr})/2$ ,  $\varepsilon_{r\theta} = 3B\sigma_e^{n-1}2\sigma_{r\theta}/2$ . В работе было получено асимптотическое решение задачи на основе введения функции напряжений Эри, асимптотическое представление которой в окрестности вершины трещины имеет следующий вид:  $\chi(r, \theta) = r^{\lambda+1}f(\theta)$ . Условие совместности деформации позволяет получить нелинейное обыкновенное дифференциальное уравнение четвертого порядка:

$$\begin{aligned} & f_e^2(f)^{IV} \{ (n-1)[(1-\lambda^2)f + (f)']^2 + f_e^2 \} + (n-1)(n-3) \times \\ & \times \{ [(1-\lambda^2)f + (f)'] [(1-\lambda^2)(f)' + (f)'] + 4\lambda^2(f)(f)'' \}^2 [(1-\lambda^2)f + (f)'] + \\ & + (n-1)f_e^2 \{ [(1-\lambda^2)(f)' + (f)']^2 + [(1-\lambda^2)(f)' + (f)'] [(1-\lambda^2)(f)'' + \\ & + 4\lambda^2(f)'' + f'f'''] \} [(1-\lambda^2)f + (f)'] + 2(n-1)f_e^2 \times \\ & \times \{ [(1-\lambda^2)(f)' + (f)'] [(1-\lambda^2)(f)' + (f)'] + 4\lambda^2(f)(f)'' \} [(1-\lambda^2)(f)' + (f)'] + \\ & + C_1(n-1)f_e^2 \{ [(1-\lambda^2)(f)' + (f)'] [(1-\lambda^2)(f)' + (f)'] + 4\lambda^2(f)(f)'' \} (f)' + \\ & + C_1 f_e^4 (f)'' - C_2 f_e^4 [(1-\lambda^2)(f)' + (f)'] + f_e^4 (1-\lambda^2)(f)'' = 0, \end{aligned} \quad (2)$$

где  $C_1 = 4\lambda[(\lambda-1)n+1]$ ,  $C_2 = (\lambda-1)n[(\lambda-1)n+2]$ .

### 3. Асимптотическое решение задачи. Алгоритмы численного решения нелинейной задачи на собственные значения

Решение представленного НДОУ (2) должно удовлетворять граничным условиям – условиям отсутствия поверхностных усилий на берегах трещины:  $f(\theta = \pm\pi) = 0$ ,  $(f)'(\theta = \pm\pi) = 0$ . В случае рассмотрения трещин нормального отрыва и поперечного сдвига используют условия симметрии и антисимметрии, в соответствии с которыми уравнение (2) интегрируется на отрезке  $[0, \pi]$  с начальными условиями для трещины I типа  $f(0) = 1$ ,  $f'(0) = 0$ ,  $f''(0) = A_2$ ,  $f'''(0) = 0$  и для трещин II типа  $f(0) = 0$ ,  $f'(0) = 1$ ,  $f''(0) = 0$ ,  $f'''(0) = A_3$ . Для случая смешанного деформирования на отрезке  $[-\pi, \pi]$  условия симметрии и антисимметрии быть применены не могут. Для нахождения всего спектра собственных значений отрезок интегрирования разбивается на два  $[-\pi, 0]$  и  $[0, \pi]$ .

Для реализации смешанного нагружения в определяющие соотношения материала был введен параметр смешанности нагружения (3), принимающий значение равное 1 в случае нормального отрыва (тип I) и принимает значение равное 0 в случае поперечного сдвига (тип II);  $0 < M^p < 1$  для всех промежуточных типов приложенной нагрузки. Впервые исследование смешанных форм деформирования было проведено в работах [6,7], где автором был введен параметр смешанности нагружения:

$$M^p = \frac{2}{\pi} \arctg \left| \lim_{r \rightarrow 0} \frac{\sigma_{\theta\theta}(r, \theta = 0)}{\sigma_{r\theta}(r, \theta = 0)} \right| \quad (3)$$

Таким образом, уравнение (2) интегрируется на отрезке  $[0, \pi]$  с начальными условиями  $f(0) = 1$ ,  $f'(0) = -(\lambda+1)/tg(M^p\pi/2)$ ,  $f''(0) = A_2$ ,  $f'''(0) = A_3$ . Неизвестные параметры  $A_2$  и  $A_3$  находятся из условий отсутствия поверхностных усилий на верхнем берегу трещины. После построения численного решения на рассматриваемом отрезке интегрирования рассматривается отрезок  $[-\pi, 0]$ , где двухточечная краевая задача заменяется задачей Коши с начальными условиями  $f(-\pi) = 0$ ,  $f'(-\pi) = 0$ ,  $f''(-\pi) = B_2$ ,  $f'''(-\pi) = B_3$ . Неизвестные постоянные  $B_2$  и  $B_3$  подбираются таким образом, чтобы выполнялась непрерывность компонент тензора напряжений  $\sigma_{r\theta}$  и  $\sigma_{\theta\theta}$ . В работе были найдены собственные значения задачи (для последовательного описания уровней разрушения на удалении от вершины трещины), отличные от работы Хатчинсона-Райса-Розенгрена (ХРР). При интегрировании уравнения (2) отыскивались три неизвестные  $\lambda$ ,  $A_2$  и  $A_3$ , были использованы условия – отсутствия поверхностных усилий на верхнем берегу трещины, дополнительным условием накладывалось условие непрерывности радиальной компоненты тензора напряжений  $\sigma_{rr}$  [8-10]. В результате вычислений были определены новые собственные значения, отличные от собственных значений, соответствующих задаче ХРР для различных показателей параметра смешанного нагружения  $M^p$ . Для численного отыскания всего спектра собственных значений был использован один из методов семейства Рунге-Кутты-Фельдберга и метод пристрелки.

На рис. 1–3. представлены полученные угловые распределения тензора напряжений для всего диапазона параметра смешанности нагружения. Результаты вычислений приведены в таблице 1-2, где собраны новые вычисленные собственные значения и пристрелочные значения  $f''(0)$ ,  $f'''(0)$ ,  $f''(-\pi)$ ,  $f'''(-\pi)$  для всех значений параметра смешанности нагружения  $M^p$ . На основе использования новой асимптотики поля напряжений [9,10] были построены

новые угловые распределения тензора напряжений и области диспергированного материала у вершины трещины с учетом процесса накопления повреждений (рис. 4.).

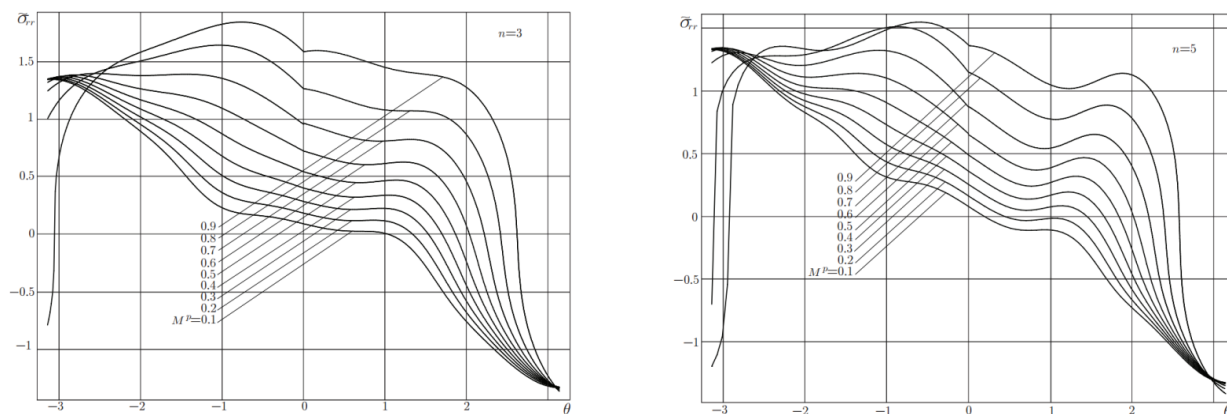


Рис. 1. Угловые распределения компоненты тензора напряжения  $\sigma_{rr}$  для  $n=3$  и  $n=5$ , для различных значений параметра смешанности нагружения.

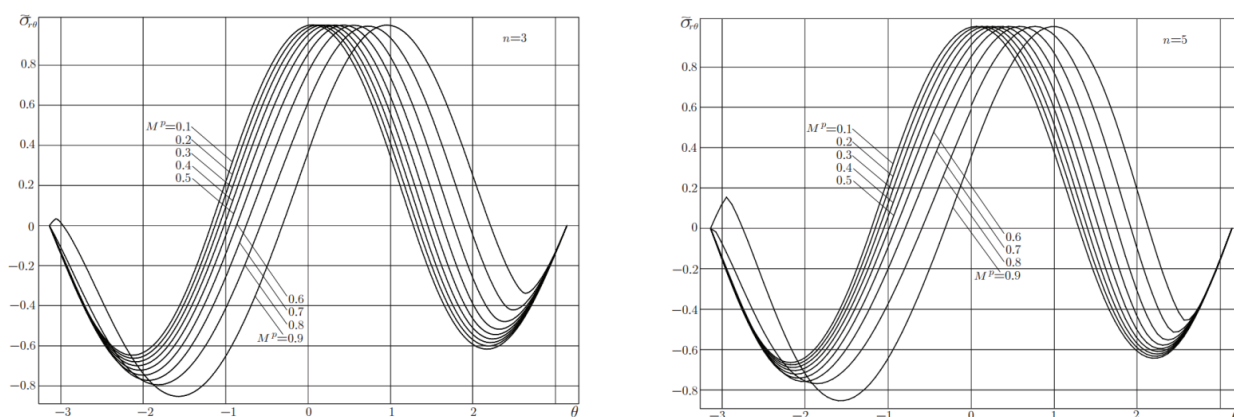


Рис. 2. Угловые распределения компоненты тензора напряжения  $\sigma_{r\theta}$  для  $n=3$  и  $n=5$ , для различных значений параметра смешанности нагружения.

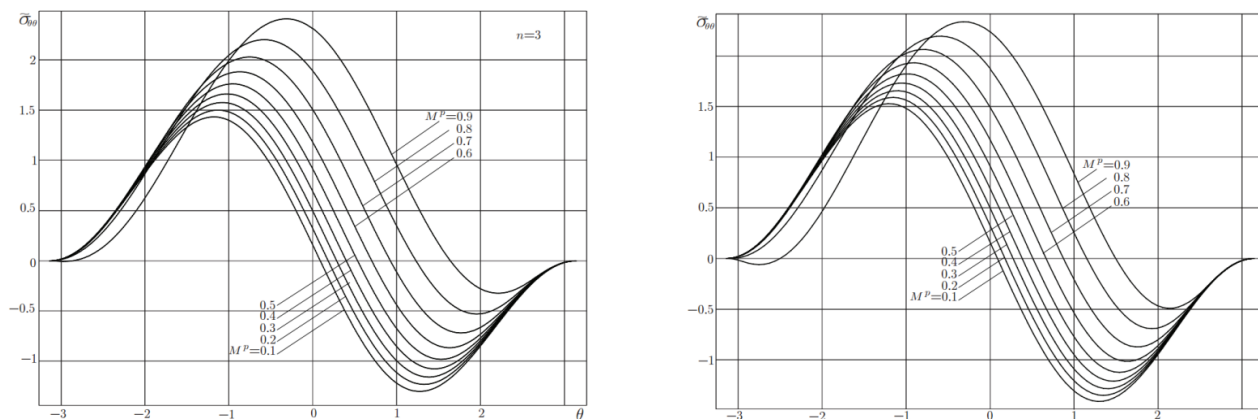


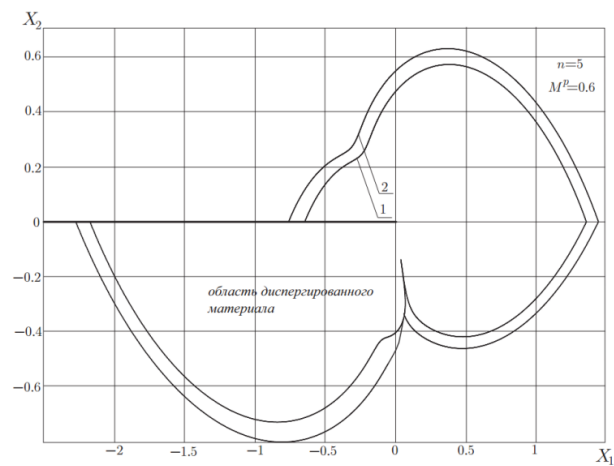
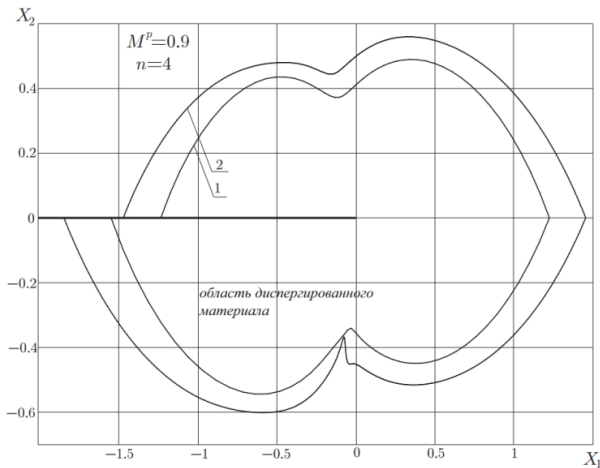
Рис. 3. Угловые распределения компоненты тензора напряжения  $\sigma_{\theta\theta}$  для  $n=3$  и  $n=5$ , для различных значений параметра смешанности нагружения.

Таблица 1. Собственные значения для различных значений параметра смешанности нагружения ( $n=3$ )

| $M^p$       | $\lambda$ | $f''(0) = A_2$ | $f'''(0) = A_3$ | $f''(-\pi) = B_2$ | $f'''(-\pi) = B_3$ |
|-------------|-----------|----------------|-----------------|-------------------|--------------------|
| $M^p = 0.1$ | 0.749848  | -1.013966      | 17.949395       | 11.168800         | 0.517892           |
| $M^p = 0.2$ | 0.749363  | -1.009897      | 8.737115        | 5.496914          | 0.424696           |
| $M^p = 0.3$ | 0.748445  | -1.002586      | 5.547736        | 3.55915           | 0.400979           |
| $M^p = 0.4$ | 0.746893  | -0.991172      | 3.860179        | 2.551472          | 0.398938           |
| $M^p = 0.5$ | 0.744332  | -0.974434      | 2.770084        | 1.910267          | 0.412827           |
| $M^p = 0.6$ | 0.740101  | -0.951094      | 1.979071        | 1.442531          | 0.449823           |
| $M^p = 0.7$ | 0.732500  | -0.918650      | 1.367524        | 1.051410          | 0.543569           |
| $M^p = 0.8$ | 0.721600  | -0.888990      | 0.899719        | 0.661603          | 0.907319           |

**Таблица 2.** Собственные значения для различных значений параметра смешанности нагружения ( $n=5$ )

| $M^p$       |          |           |          | $\lambda$ | $f'''(0) = A_2$ | $f'''(0) = A_3$ | $f'''(-\pi) = B_2$ | $f'''(-\pi) = B_3$ |
|-------------|----------|-----------|----------|-----------|-----------------|-----------------|--------------------|--------------------|
| $M^p = 0.1$ |          |           |          | 0.833249  | -1.059009       | 17.175337       | 12.860403          | 0.228893           |
| $M^p = 0.2$ |          |           |          | 0.832975  | -1.054348       | 8.361967        | 6.336621           | 0.237512           |
| $M^p = 0.3$ |          |           |          | 0.832434  | -1.045750       | 5.310084        | 4.113521           | 0.249890           |
| $M^p = 0.4$ |          |           |          | 0.831456  | -1.031834       | 3.692485        | 2.962043           | 0.268777           |
| $M^p = 0.5$ |          |           |          | 0.829711  | -1.010626       | 2.642970        | 2.232016           | 0.300862           |
| $M^p = 0.6$ |          |           |          | 0.826900  | -0.983530       | 1.880908        | 1.700473           | 0.366278           |
| $M^p = 0.7$ |          |           |          | 0.821000  | -0.940880       | 1.288024        | 1.229988           | 0.571540           |
| $M^p = 0.8$ |          |           |          | 0.814000  | -0.912565       | 0.849415        | -0.550000          | 6.170000           |
| $M^p = 0.9$ | 0.814800 | -0.922550 | 0.498916 | -0.787000 | 0.786000        |                 |                    |                    |



**Рис. 4.** Геометрия области диспергированного материала в окрестности вершины трещины для разных значений параметра смешанности нагружения.

#### 4. Выводы и обсуждение результатов

В работе предложен метод численного определения собственных значений нелинейной задачи на собственные значения, следующих из проблемы определения напряженно-деформированного состояния у вершины трещины в условиях смешанного нагружения. С помощью предложенного подхода для целого ряда значений параметра смешанности нагружения определены новые собственные значения. В ходе работы были получены асимптотические решения класса задач определения НДС и поля сплошности в окрестности вершины трещины в пластине, находящейся в условиях смешанного деформирования. В настоящей работе определены области диспергированного материала, которые формируются в окрестности вершины трещины, и как результат, найден закон скейлинга, который позволяет описать разрастание области дефрагментированного материала.

#### Литература

- [1] Hutchinson, J.W. Singular behavior at the end of tensile crack in a hardening material / J.W. Hutchinson // J. Mech. Phys. Solids, 1968. – V. 16. – № 1. – P. 13-31.
- [2] Kumar, S. A homogenized multigrid XFEEM to predict the crack growth behavior of ductile material in the presence of microstructural defects / S. Kumar, I.V. Singh, B.K. Mishra, K. Sharma, I.A. Khan // Engineering Fracture Mechanics. – 2016. In press.
- [3] Meng, Q. Creep damage models and their applications for crack growth analysis in pipes: A review / Q. Meng, Z. Wang // Engineering Fracture Mechanics. – 2016. In press.
- [4] Murakami, S. Continuum Damage Mechanics: A Continuum Mechanics Approach to the Analysis of Damage and Fracture / S. Murakami – Dordrecht: Springer, 2012. – 423 p.
- [5] Richard, H.A. Schramm, B. Schirmeisen, N.H. Cracks on Mixed Mode loading – Theories, experiments, simulations / H.A. Richard, B. Schramm, N.H. Schirmeisen // International Journal of Fatigue, 2014. – № 62. – P. 93 – 103.
- [6] Shih, C.F. Elastic-plastic analysis of combined mode crack problems // Ph. D. Thesis, Harvard University, Cambridge, M.A. 1973.
- [7] Shih, C.F. Small scale yielding analysis of mixed mode plane-strain crack problems. Fracture Analysis ASTM STP 560, 1974. – P. 187-210.
- [8] Stepanova, L. Asymptotic self-similar solution of the creep crack problems in damaged materials under mixed mode loading / L. Stepanova, E. Yakovleva, E. Mironova // Applied Mechanics and Materials, 2015. – V. 784. – P. 145-152.
- [9] Stepanova, L.V. Stress-strain state near the crack tip under mixed-mode loading: Asymptotic approach and numerical solutions of nonlinear eigenvalue problems / L.V. Stepanova, E.M. Yakovleva // AIP Conference Proceedings, 2016. – V. 1785. – 030030. DOI: 10.1063/1.4967051.
- [10] Stepanova, L.V. Asymptotic stress field in the vicinity of the mixed-mode crack in damaged materials under creep conditions / L.V. Stepanova, E. M. Yakovleva // Procedia Structural Integrity, 2016. – V. 2. – P. 793-800.
- [11] Torabi, A.R. Abedinasab, S.M. Brittle fracture in key-hole notches under mixed mode loading: Experimental study and theoretical predictions / A.R. Torabi, S.M. Abedinasab // Engineering Fracture Mechanics, 2015. – № 134. – P. 35 – 53.
- [12] Петухов, Д.С. Двойственные задачи плоских ползущих течений степенной несжимаемой среды / Д.С. Петухов, И.Э. Келлер // Вестник СамГТУ. Серия: Физико-математические науки [электронный ресурс]. – Режим доступа: <http://mi.mathnet.ru/vsgtu1508>
- [13] Пестриков, В.М. Механика разрушения. Курс лекций / В.М. Пестриков, Е.М. Морозов. – СПб.: Профессия, 2012. – 552 с.
- [14] Степанова, Л.В. Математические методы механики разрушения / Л.В. Степанова // М.: Физматлит, 2009. – 336 с.